

研究简报

# 分子束外延 GaAs 掺 Se

孔梅影

D. A. Andrews G. J. Davies

(中国科学院半导体研究所)

(英国电信研究所)

1983年3月4日收到, 1984年4月16日收到修改稿

利用 Se 电化学喷射炉产生的 Se 分子束, 对分子束外延 (MBE) GaAs 掺杂, 获得了载流子浓度为  $10^{13}$ — $10^{14} \text{ cm}^{-3}$  的 N 型 GaAs。载流子浓度  $8.0 \times 10^{13}$ — $5.76 \times 10^{14} \text{ cm}^{-3}$  范围相应的室温迁移率为  $6350$ — $5200 \text{ cm}^2/\text{V} \cdot \text{s}$ 。还研究了各种生长参数对载流子浓度的影响。对实验结果给予了定性的解释。

## 一、引言

用分子束外延技术研制半导体器件、掺杂问题十分重要, 至今虽已有许多研究, 但对大多数掺杂剂来说, MBE 的掺杂机构仍很不清楚。MBE 用的 N 型掺杂剂, 目前一般多采用 IV 族元素 Sn、Ge 和 Si 等, 虽然它们都取得了不同程度的成功, 但也都还存在一些问题。Sn 在高浓度时有明显的表面分凝效应<sup>[1,2]</sup>, 难以获得陡的掺杂分布。Ge 在 MBE GaAs 中是两性杂质<sup>[1,3]</sup>, 自补偿度高。Si 需要高温, 如需要 1300K 的炉温才能获得  $10^{13} \text{ cm}^{-3}$  的载流子浓度。这样高温喷射炉就成了严重的杂质污染源<sup>[1,4]</sup>。此外 Si 还不能获得高的掺杂浓度。因此如何能将 VI 族元素用作 MBEGaAs 的 N 型掺杂剂是目前人们很感兴趣的问题。在 MBE 中由于 VI 族元素蒸气压高而不能被直接用作掺杂剂。近几年来, 有人采用 PbS、PbSe、SnTe 和 Ag<sub>2</sub>S 等化合物作分子束源掺杂, 取得了一定的成功<sup>[5-9]</sup>。我们用 Ag<sub>2</sub>Se 作成电化学喷射炉, 用它产生的 Se 分子束对 MBE GaAs 进行掺杂, 取得了比较满意的结果。本文主要介绍此实验研究工作, 并对结果进行了讨论。本实验工作是在英国电信研究所进行的。

## 二、实验

### 1. MBE 设备

实验使用的是 VGMBE-288 型分子束外延设备。此设备共有三个真空室-空气锁、样品预备室和外延生长室。外延生长室和样品预备室的真空中度一般为  $10^{-10}$ — $10^{-11}$  托, 生长时外延生长室的真空中度为  $2 \times 10^{-8}$ — $6 \times 10^{-9}$  托。

## 2. Se 电化学喷射炉

其结构原理如图 1 所示, 将高纯(4 个 9)的  $\text{Ag}_2\text{Se}$  和  $\text{AgI}$  等压结成小圆柱, 组成 Pt/ $\text{Ag}_2\text{Se}/\text{AgI}/\text{Pt}$  固态电化学电池, 与 Knudsen 炉结合构成一个 Se 分子束流量可控的分子束源喷射炉。在一定的温度下, 当外加一电压于此固态化学电池上, 如图所示,  $\text{Ag}_2\text{Se}$  将分解,  $\text{Ag}^+$  通过  $\text{AgI}$  流向  $\text{Ag}$  并沉积下来。 $\text{Se}^-$  放出电子成为气态从 Knudsen 炉的小孔中喷出。

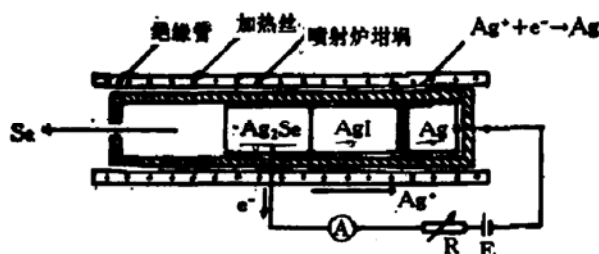


图 1 Se 中化学喷射炉的结构原理图

我们知道 Knudsen 的流量方程为<sup>[10]</sup>

$$J = 1.118 \times 10^{22} \frac{pA}{L^2(MT)^{1/2}} \text{ 分子}/\text{cm}^2 \cdot \text{s} \quad (1)$$

其中  $A$  为喷口面积 ( $\text{cm}^2$ ),  $L$  是喷口到衬底的距离 ( $\text{cm}$ ),  $p$  为喷射炉内分子的平衡蒸汽压强,  $M$  为分子量。

由于出来的 Se 分子中含有多种不同质量数的  $\text{Se}_x$  分子, 故 Se 分子束流应为

$$J_{\text{Se}} = \sum_x J_{\text{Se}_x} = \sum_x 1.118 \times 10^{22} \frac{p_{\text{Se}_x} A}{L^2(M_x T)^{1/2}} \quad (x = 2, 3, \dots, 8) \quad (2)$$

$p_{\text{Se}_x}$  是  $\text{Se}_x$  分子在 Knudsen 炉内的平衡分压强。也即是固态化学电池  $\text{Ag}_2\text{Se}$  上方的平衡  $\text{Se}_x$  分压强, 它应为<sup>[11]</sup>

$$p_{\text{Se}_x} = p_{\text{Se}_x}^0 \exp\left(\frac{2(E - E^*)}{RT}\right) \quad (3)$$

其中  $p_{\text{Se}_x}^0$  为  $\text{Se}_x$  分子在液态 Se 上方的平衡分压强。

$E^*$  为电池和液态 Se 平衡时的电池电动势,  $E$  为电池电动势, 在这里等于外加电压,  $R$  为气体常数,  $F$  为法拉第常数,  $T$  为绝对温度。

在我们的实验中, 公式(2)中的  $A$  和  $L$  是常数。温度一定时,  $p_{\text{Se}_x}^0$  和  $E^*$  也是常数, 它们可以通过实验测定<sup>[11, 12]</sup>。所以从公式(2)(3)得知  $T$  一定时,  $p_{\text{Se}_x}$  只随外加电压  $E$  改变, 也即是 Se 的分子流量  $J_{\text{Se}}$  只随  $E$  变。因此改变外加电压就可以控制改变 Se 的掺杂浓度。

这样的电化学喷射炉的优点是:

- (1) 不加外电场时, 系统即使处于烘烤温度( $150-200^\circ\text{C}$ ),  $\text{Ag}_2\text{Se}$  上方的各种  $\text{Se}_x$  蒸气压仅为  $10^{-13}-10^{-11}$  托, 因此可以很好地保证系统的真空度。
- (2) 电化学喷射炉的工作温度低( $\sim 300^\circ\text{C}$ ), 减少了对生长环境的污染。
- (3) 分子束流量是通过改变电压调节, 响应快, 适于陡掺杂的要求。

### 3. 外延生长和掺杂

衬底材料是半绝缘的(或掺 Cr 的)和N型低阻( $\sim 10^{10}\text{cm}^{-3}$ )的(100)GaAs。机械抛光好的衬底片，使用前再用蒸馏的热丙酮、三氯乙烯和异丙醇先后各冲洗数遍，然后用  $\text{H}_2\text{SO}_4:\text{H}_2\text{O}_2:\text{H}_2\text{O} = 15:2:2$  腐蚀，去离子水洗净， $\text{N}_2$  气吹干，用 In 粘到钼加热块上，立即通过空气锁送入样品预备室，加热到 450—500°C 去除表面吸附的  $\text{H}_2\text{O}$ 、 $\text{CO}$ 、 $\text{CO}_2$  等。再送入生长室在  $\text{As}_4$  气氛下加热到 650—670°C 去除表面氧化层，在 620—650°C 范围内生长 GaAs 和掺 Se。生长开始前后可用 RHEED 原位观察氧化层的去除情况和选择合适的生长条件。

采用高纯(7个9)元素 Ga 和 As 作源，生长前先用生长室内的离子计校好 Ga 和 As 的分子束流量以控制  $\text{As}_4/\text{Ga}$  流量比和生长速率。一般控制  $\text{As}_4/\text{Ga}$  流量比为 3 左右，实验中 Ga 炉温度为 1050—1120°C，As 炉温度为 325—355°C，对应 1—2  $\mu\text{m}/\text{hr}$  的生长速率。

## 三、实验结果和讨论

### 1. 载流子浓度和外加电压的关系

Se 分子束流强度随外加电压变化的测量结果如图 2 所示。在外加电压 150—250mV 范围内，用离子计测得炉温 300°C 下的 Se 分子束流为  $5.6 \times 10^{-11}$ — $10 \times 10^{-12}\text{A}$ 。图中  $I_{\text{Se}}-E$  关系基本上是一直线，这表明 Se 分子束流强度基本上是按指数规律随外加电压改变。同时图中也给出了掺 Se 的 MBE GaAs 的载流子浓度  $n$  随外加电压变化的实验

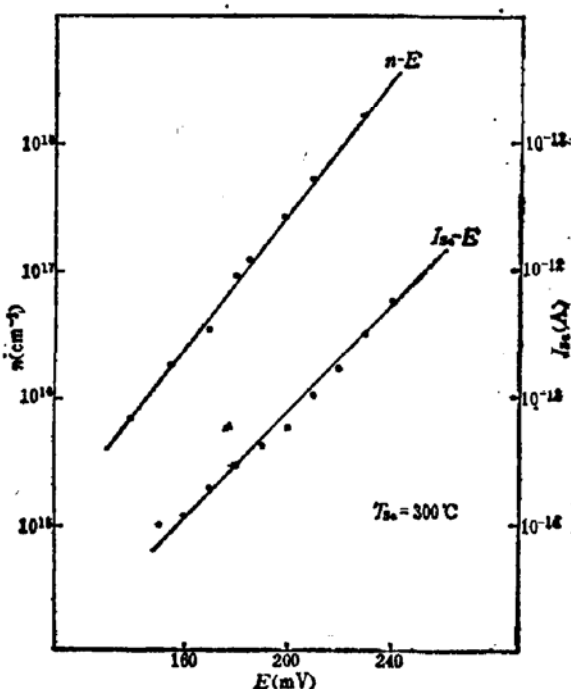


图 2 Se 分子束流强度、载流子浓度和 Se 炉外加电压的关系

结果,基本上也是直线关系。不同样品的斜率稍有不同,这是因为载流子浓度还和其他生长条件有关。由于  $Se_x$  分子中有七种  $Se_x$  分子,它们在  $Se$  分子束中的比例随温度和外加电压改变。 $Se_x$  分子到达 GaAs 表面后,与表面的反应结合又和各种生长参数有关,因此对  $Se$  掺杂浓度进行计算比较复杂和困难。但由于从实验得到  $n-E$  和  $I_{Se}-E$  基本上都是指数关系,这样在实验上控制  $Se$  的掺杂浓度就比较简单了。

## 2. 外延层的电学性质

在这系统中得到的 N型 MBE GaAs 的本底载流子浓度为  $4 \times 10^{14}$ — $2 \times 10^{15} \text{ cm}^{-3}$ , 掺  $Se$  的载流子浓度为  $10^{15}$ — $10^{18} \text{ cm}^{-3}$ 。在  $300^\circ\text{C}$  的  $Se$  炉温度下,阶梯地改变其外加电压进行 MBE GaAs 掺  $Se$ 。用 Post Office C-V Plotter 测得其外延层中的载流子浓度随深度的变化如图 3 所示。可看出在电压一定时,载流子浓度也基本恒定。电压改变时,载流子

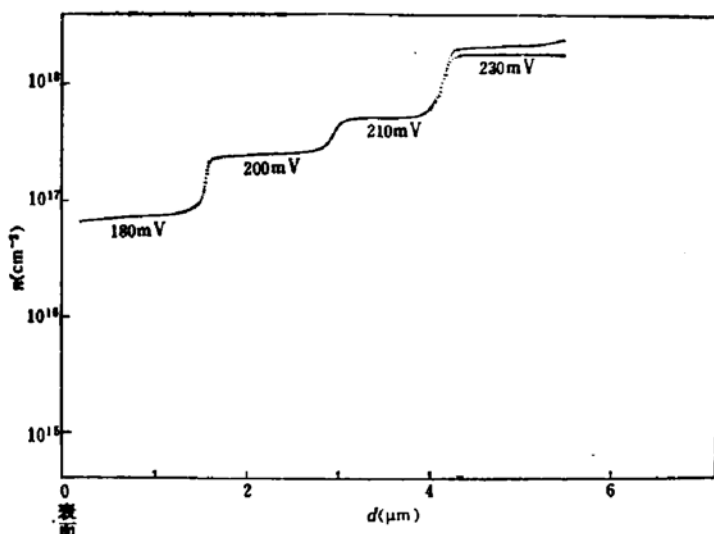


图 3 阶梯地改变  $Se$  炉电压,载流子浓度  $n$  在外延方向上相应的变化

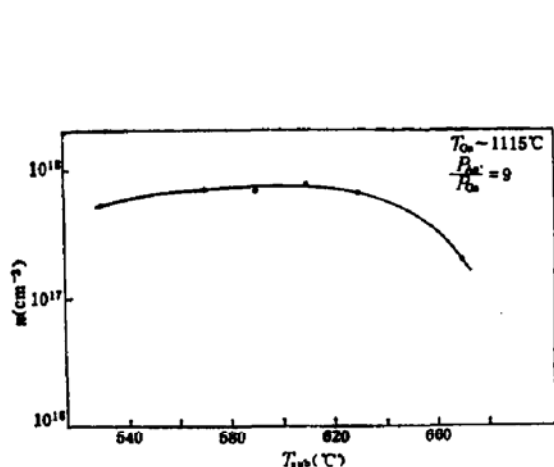
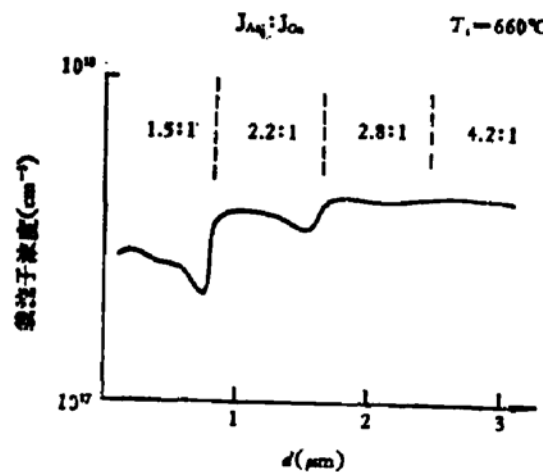
浓度相应地改变。载流子浓度的纵向分布均匀,在界面处过渡区窄 ( $0.1$ — $0.2 \mu\text{m}$ )。可见其掺杂浓度随外加电压的变化响应快,可获得陡的掺杂分布。外加电压  $230\text{mV}$  下掺杂的 MBE GaAs 的载流子浓度为  $1.6 \times 10^{18} \text{ cm}^{-3}$ ,  $240$ — $250\text{mV}$  下掺杂的外延层的载流子浓度估计达到了  $5 \times 10^{18} \text{ cm}^{-3}$ 。

载流子浓度  $8.0 \times 10^{15}$ — $5.75 \times 10^{16} \text{ cm}^{-3}$  范围样品相应的室温迁移率为  $6350$ — $5300 \text{ cm}^2/\text{V.s.}$

## 3. 载流子浓度与生长参数的关系

(1) 生长温度的影响 在其他生长条件不变的情况下,阶梯地改变生长温度,外延层中载流子浓度的变化如图 4 所示。可看出在衬底温度  $T_{\text{Sub}}$  低于  $570^\circ\text{C}$  时,载流子浓度  $n$  随  $T_{\text{Sub}}$  上升而增大。在  $570$ — $640^\circ\text{C}$  的温度范围内,  $n$  基本上不随  $T_{\text{Sub}}$  改变,  $T_{\text{Sub}}$  高于  $640^\circ\text{C}$  以后,  $n$  随  $T_{\text{Sub}}$  的升高而减小。

对此的解释是:  $Se$  在 MBE GaAs 中的掺杂过程是  $Se_x$  分子与 GaAs 表面相互作

图 4 载流子浓度  $n$  与生长温度  $T_{\text{sub}}$  的关系图 5 载流子浓度  $n$  和  $\frac{As_4}{Ga}$  流量比的关系

用的复杂过程,涉及到  $Se_x$  分子在表面的吸附、分解、迁移和脱附等多种情况。 $Se_x$  分子到达表面后,开始是不稳定的物理吸附,通过和表面的相互作用和交换能量,若能获得足够的能量,则  $Se_x$  分子分解成  $Se$  原子并迁移到能量最低处(如 As 空位上),形成稳定的化学吸附,贡献出传导电子。但是在一定的生长温度条件下,它的逆过程也可能发生。即在一定的能量激活下,已化学结合的  $Se$  原子可能会分解和从表面脱附。这两个过程发生的机率都和生长温度有关。可以认为,在  $T_{\text{sub}} < 570^\circ\text{C}$  时,是前一个过程起主导作用。 $Se_x$  分子分解成原子并形成化学吸附的机率随生长温度的上升而增加,所以载流子浓度  $n$  也相应地加大。在  $570^\circ\text{C} < T_{\text{sub}} < 640^\circ\text{C}$  范围,这正反二个过程处于平衡状态,所以  $n$  基本上是一常数,而当  $T_{\text{sub}} > 640^\circ\text{C}$  以后,逆过程发生的机率随  $T_{\text{sub}}$  上升而增大得很快,成为起主导作用的过程。对此用 SIMS 作过测量,证实了在  $T_{\text{sub}} > 640^\circ\text{C}$  以后,  $GaAs$  中  $Se$  原子的浓度减小了。

(2)  $\frac{As_4}{Ga}$  流量比的影响 在其他生长条件恒定的情况下,生长时阶梯地改变 As 炉温度,即改变  $\frac{As_4}{Ga}$  的流量比,外延层中载流子浓度  $n$  随深度  $d$  的变化如图 5 所示。可以看到  $n$  随  $\frac{As_4}{Ga}$  流量比的加大而增大。这是由于到达  $GaAs$  表面的  $As_4$  分子愈多,  $Se_x$  愈不容易从  $GaAs$  表面再蒸发出来。

(3) 生长速率的影响 MBE 的生长速率主要取决于到达  $GaAs$  表面的  $Ga$  原子束的束流强度。在  $Se_x$  分子束流相同的条件下,生长时  $Ga$  炉温度高的样品载流子浓度  $n$  小。

#### 四、结 论

利用  $Se$  电化学喷射炉产生的  $Se$  分子束对 MBE  $GaAs$  进行了  $Se$  掺杂的研究,得到了载流子浓度  $n$  为  $10^{15}$ — $10^{18} \text{ cm}^{-3}$  的 N型 MBE  $GaAs$ 。 $n$  为  $8.0 \times 10^{15}$ — $5.76 \times 10^{16} \text{ cm}^{-3}$

范围的样品相应的室温迁移率为  $6350\text{--}5200\text{cm}^2/\text{V}\cdot\text{s}$ , 载流子浓度在界面处变化陡, 纵向分布均匀。此方法成功地解决了 MBE GaAs 掺 Se 的困难, 获得了比较满意的结果, 研究了各种生长参数对载流子浓度的影响。发现在  $570\text{--}640^\circ\text{C}$  的生长温度范围内,  $n$  基本上不随  $T_{\text{sub}}$  变化。这是 Se 掺杂 MBE GaAs 所特有的现象, 对此用 Se 与表面反应的动力学过程给予了解释。

感谢英国电信研究所材料室电学测量组帮助对样品进行测试。

### 参 考 文 献

- [1] A. Y. Cho and J. R. Arthur, *Prog. Solid. State Chem.*, **10**, 157 (1975).
- [2] C. E. C. Wood and B. A. Joyce, *J. Appl. Phys.*, **49**, 4854 (1978).
- [3] (a) A. Y. Cho, *J. Appl. Phys.*, **46**, 1733 (1975). (b) B. I. Miller *et al.*, *Appl. Phys. Lett.*, **33**, 44 (1978).
- [4] T. Shimano *et al.*, *Surface Science*, **86**, 126 (1979).
- [5] C. M. Wolfe and G. E. Stillman, in «Characterization of Epitaxial Semiconductor Film», (H. Kresseled) p. 179. Elsevier, New York, (1976).
- [6] C. E. C. Wood, *Appl. Phys. Lett.*, **33**, 770 (1978).
- [7] D. M. Collins, *Appl. Phys. Lett.* **35**, 67 (1979).
- [8] Jing Desheng, Y. Makita, K. Ploog, and H. J. Queisser, *J. Appl. Phys.* **52**, 999 (1982).
- [9] G. J. Davies *et al.*, *J. Appl. Phys.*, **52**, 7214 (1981).
- [10] N. F. Ramsey, *Molecular Beams*, Oxford Univ. Press, London, 1956.
- [11] H. Rickert, *Physics of Electrolytes*, edited by J. Hladik, Academic, New York, 1972, Vol. 2, p. 519.
- [12] Nilo Valverde, *Zeitschrift fur Physikalische Chemie Neue Folge*, **70**, 113 (1970).
- [13] T. Ambridge, T. L. Stevenson and R. H. Redstall, *J. Electrochem. Soc.*, **127**, 222 (1980).

## Electrochemical Selenium Doping of GaAs Grown by MBE

Kong Meiying

(Institute of Semiconductors, Academia Sinica)

D. A. Andrews and G. J. Davies

(British Telecom. Research Labs.)

### Abstract

The use of an electrochemical Knudsen cell as a molecular selenium source in the growth of n-type GaAs has been investigated. Net carrier concentration  $n$  between  $10^{16}\text{--}10^{18}\text{cm}^{-3}$  has been obtained. Hall mobilities of  $6350\text{--}5300\text{cm}^2/\text{V}\cdot\text{s}$  at room temperature have been achieved for Se doped layers with  $n=8.0\times 10^{15}\text{--}5.76\times 10^{16}\text{cm}^{-3}$ . The influence of growth conditions on Se doped GaAs has been investigated and explained.